

## フローインジェクション分析法による グアナーゼ活性の測定

友田正子, 内田和秀, 樋口誠彦, 佐治京子, 斎藤真一

上智大学理工学部一般科学研究室

〒102 千代田区紀尾井町7-1

防衛医科大学校麻酔学教室

〒359 所沢市並木3-2

### Flow Injection Analysis for Guanase Activity

Masako Tomoda, Kazuhide Uchida\*, Nobuhiko Higuchi, Kyoko Saji,  
and Shin-ichi Saito

Department of Natural Sciences, Faculty of Science and Technology, Sophia University, 7-1 Kioicho, Chiyoda-ku, Tokyo 102

\*Department of Anesthesiology, National Defense Medical College, 3-2 Namiki, Tokorozawa-shi, Saitama 359

A more simple and convenient method for the determination of guanase activity was established using FIA. This new flow method is based on measuring the hydrogen peroxide formed by guanase and coupled enzymes: xanthine oxidase and uricase. FIA system is made up of series injection method, stopped flow method and merging zone method. A good linear relationship ( $r = 0.9999$ ) was obtained for the standard curve between the activity of guanase ( $37^{\circ}\text{C}$ ,  $0 - 1.84 \text{ U l}^{-1}$ ) and the absorbance. The reproducibility was good (RSD < 1 %, n = 10) and the mean recovery was 97 %. Since the endogenous xanthine and uric acid in each biological sample can be eliminated completely in the FIA system, a blank test was not needed. This method allows relatively rapid analysis, because forty samples can be treated during about 6 hours.

### 1. 緒 言

グアナーゼ(Guanase; Guanine deaminase)は、グアニンを脱アミノ化してキサンチンとアンモニアに分解する核酸代謝系酵素で、1932年 Schmidt<sup>1)</sup>が初めて家児の肝ホモジネート中に発見したものである。1963年 Passanenti<sup>2)</sup>が肝疾患時に血清中のグアナ

ーゼ活性が上昇することを見いだして以来、肝機能検査として血清グアナーゼ活性が臨床的に有意義であることが数多く報告されている。<sup>3-5)</sup> グアナーゼのヒトにおける臓器分布は肝、腎、脳に多く存在することが知られており、従来から肝機能検査の代表的な項目である GOT (Glutamic oxaloacetic transaminase), GPT (Glutamic pyruvic transaminase) が肝以外に骨格筋、心筋、肺などにも比較的多く存在して急性心筋梗塞や筋疾患でも増加するのに対し、グアナーゼは増加せず、これらの酵素よりも肝に特異的であることが報告されている。<sup>3)</sup> しかし、血清中のグアナーゼ活性は正常人において極めて低く、そのためその活性測定には高感度が要求される。<sup>6)</sup> グアナーゼの測定法として、基質に 8-アザグアニンを用いて生成するアンモニアを直接測定する方法、<sup>7)</sup> グアニンを基質としてキサンチンオキシダーゼ (XOD) 反応時に生じる O<sub>2</sub><sup>-</sup> の還元作用を利用する方法、<sup>8)</sup> アイソトープを用いる方法、<sup>9)</sup> XOD 及びウリカーゼ、ペルオキシダーゼ (POD) 共役系により生成した過酸化水素を定量する方法<sup>10-12)</sup> などが報告されている。<sup>13)</sup> 最近ではグアナーゼ活性測定用酵素キットが発売されており、取扱いが難しいとされる酵素の試薬調製も安全かつ迅速に行うことができる。しかしながら、これらの方法は操作上まだ煩雑であったり、精度に難点を有しているものもあり、日常検査には適応しがたい面がある。著者らは、グアナーゼ活性測定をフローインジェクション分析法 (FIA法) に応用することを試みたので報告する。

## 2. 実験

### 2. 1. 反応経路

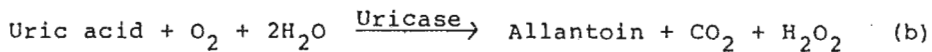
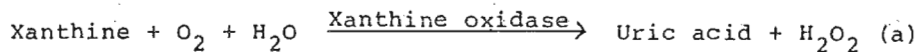
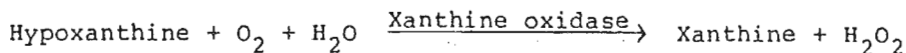
反応経路を Fig. 1 に示す。Step 1 で内因性キサンチン類及び尿酸により生成する過酸化水素をカタラーゼにより分解する。この段階で内因性物質による妨害を消去する。Step 2 ではグアニンを基質としてグアナーゼを作用させ、生成するキサンチンから Step 1 の反応 (a)(b) と同じ過程で 2 分子の過酸化水素を生成させる。生成した過酸化水素によりペルオキシダーゼの作用でメチルベンゾチアゾリノンヒドラゾン (MBTH) と N-エチル-N-スルホプロピル-m-アニシン (ESPAS) を酸化縮合させ、インダミン色素（赤紫色）に導く。従ってグアナーゼ活性は過酸化水素濃度に直接比例し、グアナーゼ標準液の検量線より活性値が定量可能である。

### 2. 2. 装置

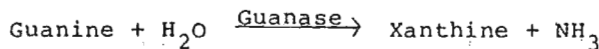
ポンプ： Gilson 製 minipuls-2 型ペリスタ式ポンプ (A 法)、あるいは日本精密科学製 SP-D-2501 プランジャー型ポンプ (B 法) を用いた。

サンプルインジェクター： 協和精密製 KMM-6V-4 型 (A 法) あるいは KMM-6V-2 型 (B 法) を用いた。

Step 1: Elimination of endogenous compounds



Step 2: Determination of guanase



Reaction (a)

Reaction (b)

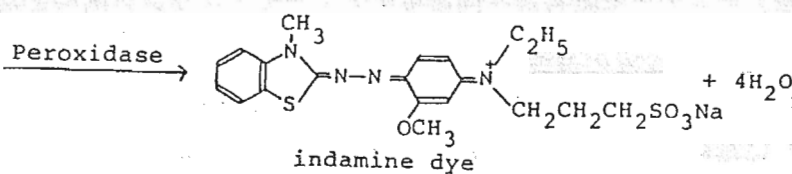
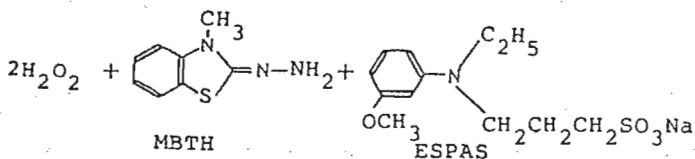


Fig. 1 Reaction paths

Table 1 Reagent system

Reagent 1	0.01 U/ml (R <sub>1</sub> )	Xanthine oxidase
	0.5 U/ml	Uricase
	6 U/ml	Superoxide dismutase
	14 U/ml	Catalase
	1.25 U/ml	Peroxidase
	2 U/ml	Ascorbate oxidase
	0.05 M	Phosphate buffer (pH 7.4)
Reagent 2	200 μM (R <sub>2</sub> )	Guanine
	200 μM	3-Methyl-2-benzothiazolinonehydrazone (MBTH)
	1 mM	N-Ethyl-N-(3-sulphopropyl)-m-anisidine (ESPAS)

切り換えバルブ及びプログラムタイマー：日本精密科学製 NV-508-2-6 型自動二連六方バルブを、同社製 PP-1100 型プログラムタイマーにて制御した。

検出器：日本分光製 UVIDEC-340 型分光光度計に FIC-36 型フローセル（光路長：10 mm, セル容量：20 mm<sup>3</sup>）を取り付け、波長 570 nm で測光した。また、メチルオレンジによる試験において、塩酸溶液では波長 510 nm を、水溶液では 460 nm を用いた。

恒温槽：三陽理化機器製 SYK-382-M 型恒温槽を使用した。

記録計：理研電子製 SP-G12 型記録計を用いた。

### 2. 3. 試薬と試料

試薬調製の迅速化のために小野薬品工業製グアーナーゼ測定用酵素キット（ダイヤカラーグUA）を利用した。キット内容を Table 1 に示す。これらは常に4°Cで保存した。

界面活性剤を除く試薬は特級品を用い、水は日本ミリポア製 Milli-R0 及びMilli-Q システムで精製した超純水を使用した。

グアーナーゼ標準液は、各ロット毎に活性値が表示された小野薬品工業製ダイヤカラーグUA用グアーナーゼ標準品を用いた。これを生理食塩水で適当に希釈して、活性系列を調製した。

内因性物質の影響を検討する目的で、以下に調製法を示す各母液を生理食塩水で希釈し、10 mg dl<sup>-1</sup> キサンチンまたは 20 mg dl<sup>-1</sup> 尿酸を含む 1.25 UI<sup>-1</sup> (A 法) 及び 2.45 UI<sup>-1</sup> (B 法) グアーナーゼ試料及び同濃度グアーナーゼ・ブランク試料を調製した。

#### 2. 3. 1. A 法での母液の調製

キサンチン 5 mg あるいは尿酸 10 mg を、各々 0.1 M 水酸化ナトリウム溶液 1.0 または 2.0 cm<sup>3</sup> に溶解し、0.1 M リン酸カリウム緩衝溶液 (pH = 7.4) を加えて全量を 10 cm<sup>3</sup> とした。

#### 2. 3. 2. B 法での母液の調製

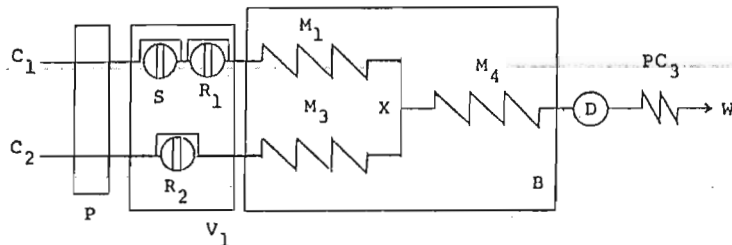
キサンチンナトリウム 25 mg を水に溶解、あるいは尿酸 22 mg を 0.12 % (w/v) 炭酸リチウム水溶液に溶解して、全量を 10 cm<sup>3</sup> とした。

### 2. 4. 流路及び試料注入法

シリーズインジェクション法とマージングゾーン法を組み合わせた A 法 (Fig. 2) と更にストップトフロー法を組み合わせた改良法 (B 法, Fig. 3) を設計した。A 法、B 法共に酵素反応を円滑に進行させるために、各コイルを恒温槽にて加温した。また、気泡による測定妨害を防ぐために背圧コイル (PC<sub>3</sub>) を取り付け、キャリヤー使用前に脱気した。

A 法はポンプ (P) によって送液されるキャリヤー (C<sub>1</sub>) 中にサンプルインジェク

ター ( $V_1$ ) を用いて試料 (S) と酵素試薬 ( $R_1$ ) を、キャリヤー ( $C_2$ ) 中に基質発色試薬 ( $R_2$ ) をそれぞれ注入する。 $V_1$ には、S,  $R_1$ 及び $R_2$ が同時に注入できるよう四連六方バルブ<sup>14)</sup>を用い、Sと $R_1$ が混合コイル ( $M_1$ ) 中で完全に反応するように、Sを $R_1$ ではさむシリーズインジェクション<sup>15, 16)</sup>を取り入れた。S,  $R_1$ 及び $R_2$ 体積は、 $V_1$ に取りつけたループ容積とバルブ内の死体積（デッドボリューム）との和とした。S注入体積は機械的に可能な最少量  $50 \text{ mm}^3$  に固定した。また、注入方法はオーバーフロー法<sup>17)</sup>を用い、総注入量は  $200 \text{ mm}^3$  とした。Sと $R_1$ は $M_1$ 中で Fig. 1 で示した Step 1 のように反応し、内因性のキサンチン類及び尿酸が消去される。次に合流点 (X) で $R_2$ と合流し、反応コイル ( $M_4$ ) 中で Step 2 の反応が進行する。

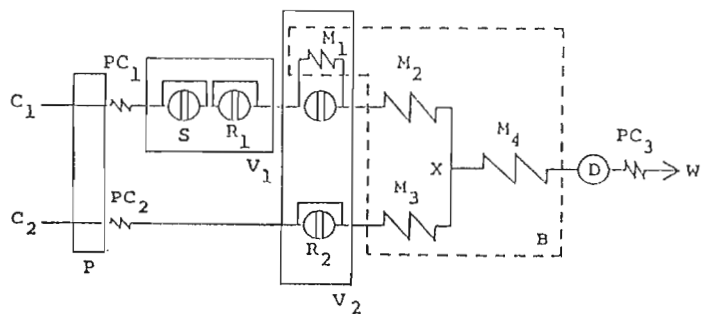


The state of the series injection in flow line:

Carrier1	Reagent1	Sample	Reagent2	Carrier1	→
----------	----------	--------	----------	----------	---

$C_1$  and  $C_2$ : Carrier solution ( $0.05 \text{ M } \text{KH}_2\text{PO}_4$ -NaOH buffer, pH = 7.4 and 6.0, containing 1.2 % (v/v) Triton X-100); P: Peristaltic pump;  $V_1$ : Injector, the synchronized system using four circuits of six-way valves; S: Sample (injection volume =  $50 \text{ mm}^3$ );  $R_1$ : Enzyme solution (consisting mainly of XOD, UOD, catalase and POD, injection volume =  $350 \text{ mm}^3$ );  $R_2$ : substrate and color reagent solution (consisting mainly of guanine, MBTH and ESPAS, injection volume =  $200 \text{ mm}^3$ ); M: Mixing and reaction coil (0.5 mm id,  $M_1$  = 32 m,  $M_3$  = 20 m, and  $M_4$  = 36 m); B: Water bath at  $45^\circ\text{C}$ ; D: Detector, spectrophotometer fixed flow cell,  $\lambda = 570 \text{ nm}$ ;  $PC_3$ : Back pressure coil (0.25 mm id x 0.15 m); W: Waste, Flow rate:  $C_1 = 0.5 \text{ cm}^3 \text{ min}^{-1}$ ,  $C_2 = 0.3 \text{ cm}^3 \text{ min}^{-1}$ .

Fig. 2 A flow diagram of A method with series injection method



$C_1$  and  $C_2$ : Carrier solution ( $0.05 \text{ M } KH_2PO_4 - NaOH$  buffer, pH = 7.4 and 6.0, containing 1.2% (v/v) Triton X-100); P: Plunger pump;  $PC_1$  and  $PC_2$ : Pressure coil ( $0.25 \text{ mm id} \times 8 \text{ m}$  and  $12 \text{ m}$ );  $V_1$ : Injector; S: Sample (injection volume =  $50 \text{ mm}^3$ );  $R_1$ : Enzyme solution (injection volume =  $350 \text{ mm}^3$ );  $V_2$ : Automatic a pair of six-valve systems (controled by program timer);  $R_2$ : Substrate and color reagent solution (injection volume =  $250 \text{ mm}^3$ ); M: Mixing and reaction coil ( $0.5 \text{ mm id}$ ,  $M_1 = 14 \text{ m}$ ,  $M_2 = 1 \text{ m}$ ,  $M_3 = 3.1 \text{ m}$ ,  $M_4 = 36 \text{ m}$ ); B: Water bath at  $45^\circ\text{C}$ ; D: Detector, spectrophotometer fixed flow cell,  $\lambda = 570 \text{ nm}$ ;  $PC_3$ : Back pressure coil ( $0.25 \text{ mm id} \times 0.15 \text{ m}$ ); W: Waste, Flow rate:  $C_1 = 0.5 \text{ cm}^3 \text{ min}^{-1}$ ,  $C_2 = 0.3 \text{ cm}^3 \text{ min}^{-1}$ .

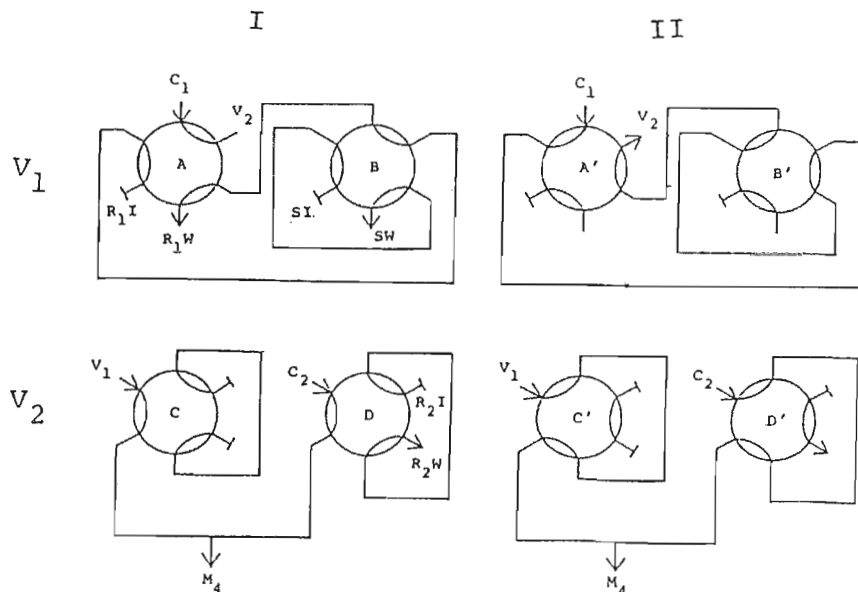


Fig. 3 A flow diagram of B method with series injection, stopped flow and merging zone methods (upper) and connection ways of  $V_1$  and  $V_2$  (lower)

B法はM<sub>1</sub>中で進行するStep 1の反応を更に完全にする目的及び感度低下を防ぐ目的で、ストップトフロー法を導入した。V<sub>1</sub>によりSとR<sub>1</sub>をC<sub>1</sub>中にシリーズインジェクションし、丁度M<sub>1</sub>におさまった時点(T<sub>1</sub>)で自動二連六方バルブ(V<sub>2</sub>)を作動させ(Fig. 3, II→I)，一定時間(T<sub>2</sub>)M<sub>1</sub>中に滞留させる。その間にR<sub>2</sub>をループ中に充填させる。次にV<sub>2</sub>を作動させて(I→II)，SとR<sub>1</sub>の混合液が再び流れ出す時点で、R<sub>2</sub>がC<sub>2</sub>中に注入される。

## 2. 5. A法における最適条件の検討

### 2. 5. 1. M<sub>4</sub>長の検討

M<sub>1</sub>=M<sub>3</sub>=2 mm(0.5 mm i.d.)，R<sub>1</sub>=100 mm<sup>3</sup>，R<sub>2</sub>=200 mm<sup>3</sup>，T=37°C，両キャリヤー流量(FC<sub>1</sub>，FC<sub>2</sub>)=0.5 cm<sup>3</sup>min<sup>-1</sup> 及びC<sub>1</sub>，C<sub>2</sub>組成共に0.6% Triton X-100を含む0.1 M リン酸一カリウム／水酸化ナトリウム緩衝液(pH=7.4)に固定し，M<sub>4</sub>を18～24 mm(0.5 mm i.d.)で変化させ，標準系列を用い吸光度を測定した。

### 2. 5. 2. M<sub>1</sub>長，M<sub>3</sub>長，R<sub>1</sub>体積及びTの検討

内因性キサンチン及び尿酸の消去を目的に，2. 5. 1. で用いたC<sub>1</sub>，C<sub>2</sub>，FC<sub>1</sub>，FC<sub>2</sub>，R<sub>2</sub>条件及び2. 5. 1. で得られたM<sub>4</sub>の最適条件を使用し，M<sub>1</sub>，M<sub>3</sub>，R<sub>1</sub>及びTをTable 2に示すように変化させ，キサンチンあるいは尿酸含有試料及びプランク試料を用い吸光度を測定した。ここでM<sub>3</sub>はM<sub>1</sub>に関連し，両流路注入化合物がXで良好に混合するように順次変化させ設定した。これにはSあるいはR<sub>2</sub>にメチルオレンジ塩酸溶液を別個に注入測定し，得られる2つの波形のピークトップが同調する時間をチャート紙から求める別の試験を行った。

### 2. 5. 3. FC<sub>2</sub>の検討

下記諸条件のもと，FC<sub>1</sub>=0.5 cm<sup>3</sup>min<sup>-1</sup>に固定し，FC<sub>2</sub>を0.3，0.5及び0.7 cm<sup>3</sup>min<sup>-1</sup>と変化させ，標準系列を用い吸光度を測定した。FC<sub>2</sub>の可変により，SとR<sub>2</sub>がXで良好に混合するように，上記同様メチルオレンジを用いた試験を行った。設定条件はM<sub>1</sub>=32 mm(0.5 mm i.d.)，T=45°C，R<sub>1</sub>=350 mm<sup>3</sup>とし，他は2. 5. 2. と同様である。

### 2. 5. 4. C<sub>1</sub>，C<sub>2</sub>組成の検討

以上求められた条件下で，C<sub>1</sub>，C<sub>2</sub>中の界面活性剤の種類及び濃度を変化させ，標準系列を用い吸光度を測定した(Table 3 参照)。また，緩衝溶液の種類及びpHについても同様に検討した(Table 4 参照)。

### 2. 5. 5. 添加回収試験

添加回収試験を添加回収試験試案<sup>18)</sup>に準じて行った。グアナーゼ標準液を被検試料

の 1/10 添加し、回収率を算出した。

## 2. 6. B 法における最適条件の検討

A 法で求めた最適条件下、 $M_1$ 長、 $T_1$  (Delay time)、 $T_2$  (Stopped flow period) 及び  $R_2$  体積を検討した。

### 2. 6. 1. $M_1$ 長及び $T_1$ の検討

$R_1$  の代わりにメチルオレンジ水溶液を注入し、 $M_1$  及び  $T_1$  を変化させ、ピーク形状を観察した。S、 $R_1$  混合溶液の  $M_1$  中への流入以前、即ち最適時間より短い状態、または S、 $R_1$  混合溶液の一部あるいは全部の  $M_1$  からの流出以後、即ち最適時間より長い状態を作るバルブ操作を避けるように考慮した。

### 2. 6. 2. $T_2$ の検討

内因性キサンチン類及び尿酸の消去反応に直接関連する  $T_2$  を、2. 5. 2. における  $M_1$  検討法と同様にして行った。

### 2. 6. 3. $R_2$ 体積の検討

$R_2$  体積を  $200 \sim 350 \text{ mm}^3$  の間で変化させて、グアナーゼ標準液 (1.23 または  $3.68 \text{ UI}^{-1}$ ) を各々 10 回測定し、相対標準偏差を比較した。

### 2. 6. 4. 添加回収試験及び応用検体の測定

添加回収試験を各種試料で行った。また、管理血清及びプール血清 (9種類) を応用検体として定量し、ダイヤカラー GUA を用いた用手法と比較した。

## 3. 結 果 と 考 察

### 3. 1. A 法による最適条件の検討

$M_4$  長の吸光度に及ぼす影響を Fig. 4 に示す。直線の傾きと直線性より  $36 \text{ m}$  を選択した。

$M_1$  及び  $M_3$  長、 $R_1$  体積及び  $T$  が内因性物質の消去に及ぼす影響を Table 2 に示す。一般に酵素反応は  $37^\circ\text{C}$  付近が最適条件とされる。しかし本法では試料注入後短時間で最適温度に到達させるため、 $T > 37^\circ\text{C}$  で検討を行った結果、 $45^\circ\text{C}$  が最も反応が効率よく進行した。また、 $M_1$  中での反応、即ち内因性物質の消去反応が確実に行われなければ、測定値に正の誤差を生じる。 $M_1$  長は S と  $R_1$  の混合及び反応時間に影響し、 $32 \text{ m}$  (内径  $0.5 \text{ mm}$ ) で内因性物質をほぼ消去し得た。

$F C_2$  の吸光度に及ぼす影響を Fig. 5 に示す。直線の傾きより  $0.3 \text{ cm}^3 \text{ min}^{-1}$  を選択した。

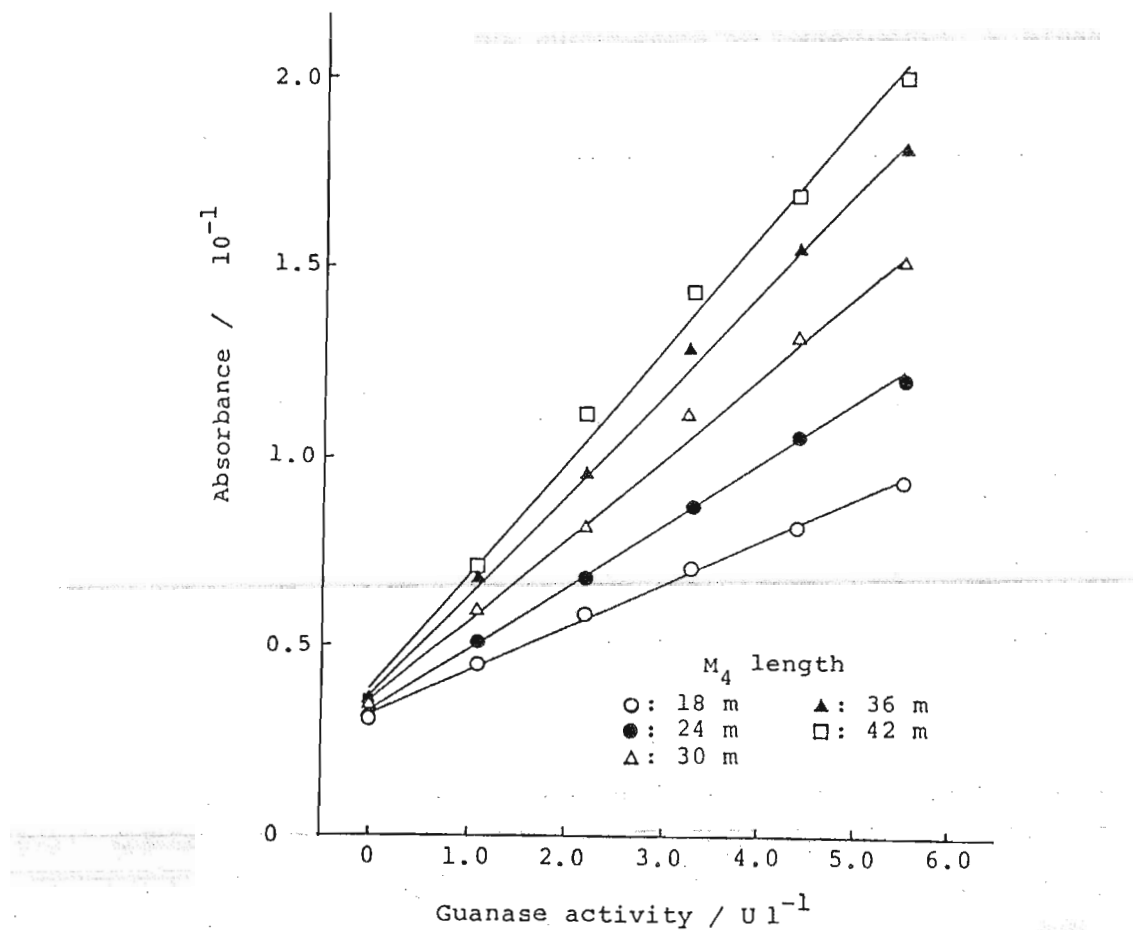


Fig. 4 Effect of reaction coil ( $M_4$ ) length on absorbance in A method

求めた条件下で検量線を作成したところ、 $0 \sim 0.1 \text{ U l}^{-1}$  間の吸光度にほとんど差がみられなかった。しかし試薬ブランク値に対し、 $0.13 \text{ U l}^{-1}$  で + 4% と明らかな吸光度差を示したので、この濃度を定量限界とした。グアナーゼ活性  $0.13 \sim 1.05 \text{ U l}^{-1}$  の範囲で、良好な検量線（勾配  $a = 0.0268$ 、相関係数  $r = 0.9983$ ）が得られた。

試料または試薬中の蛋白質などの流路（テフロンチューブ）への付着は、定量の再現性に影響を及ぼす。この汚染防止に界面活性剤の添加は必要不可欠であるが、試薬ブランクや酵素反応阻害の問題もあり、最適条件の検討が必須である。 $C_1$  及び  $C_2$  に添加した界面活性剤の種類及び濃度が、検量線に及ぼす影響を Table 3 に示す。検量線の傾き、直線性及び y 切片（試薬ブランク値）を考慮し、1.2% Triton X-100 を選択した。また、緩衝溶液の種類及び pH が、検量線に及ぼす影響を Table 4 に示す。検量線の傾き及び直線性より、 $C_1$  はリン酸一カリウム緩衝溶液（pH 7.4）を、 $C_2$  には同緩衝溶

Table 2 Eliminated of endogenous xanthine and uric acid in A method

No.	M <sub>1</sub>		M <sub>3</sub>		R <sub>1</sub>		Resident <sup>a)</sup> time in M <sub>1</sub> /min	Temp. °C	Ratio of absorbance	
	length/m	i.d./mm	length/m	i.d./m	vol./mm <sup>3</sup>	i.d./mm			(G+X)/G <sup>*</sup>	(G+U)/G <sup>**</sup>
1	6.00	0.5	6.00	0.5	100	1.0	2.36	37	11.4	-
2	2.00	1.0	2.00	1.0	100	1.0	3.14	37	9.10	-
3	0.41	2.2	0.41	2.2	100	1.0	3.14	37	5.10	-
4	0.83	2.2	16.00	0.5	150	1.0	6.28	37	6.35	2.35
5	0.83	2.2	16.00	0.5	150	1.0	6.28	40	5.80	2.14
6	0.83	2.2	16.00	0.5	150	1.0	6.28	45	4.00	1.68
7	0.83	2.2	16.00	0.5	150	1.0	6.28	50	4.24	1.91
8	1.24	2.2	24.00	0.5	150	1.0	9.42	45	2.79	1.48
9	1.24	2.2	24.00	0.5	500	1.0	9.42	45	1.31	1.21
10	1.24	2.2	32.00	0.5	500	1.0	12.56	45	1.20	-
	+8.00	0.5								
11	1.24	2.2	32.00	0.5	500	2.2	12.56	45	1.15	-
	+8.00	0.5								
12	8.00	1.0	32.00	0.5	500	2.2	12.56	45	1.08	-
13	32.00	0.5	32.00	0.5	500	2.2	12.56	45	1.06	0.99
14	40.00	0.5	40.00	0.5	500	2.2	15.70	45	1.03	1.01
15	40.00	0.5	40.00	0.5	350	2.2	15.70	45	1.04	1.01
16	32.00	0.5	32.00	0.5	350	2.2	12.56	45	1.01	1.00

\* (Absorbance of guanase with xanthine)/(Absorbance of guanase)

\*\* (Absorbance of guanase with uric acid)/(Absorbance of guanase)

a) The time which S and R<sub>1</sub> mixture passes through M<sub>1</sub>

液(pH 6.0)を選択した。色原体MBTH-ESPASは酸性側(pH 5.5～7.0)で安定である<sup>12)</sup>ことからもC<sub>2</sub>のpHは適当と考えた。最近、生化学領域でグッド緩衝液<sup>19)</sup>が広く使用されており、グアナーゼ活性の測定にも用いられている。<sup>20)</sup>しかしながらグッド緩衝液は比較的高価であり、本法での多量使用を考慮し、試薬調製も簡単な緩衝溶液を使用した。

ここまで求められた条件で標準液及び管理血清のグアナーゼ添加回収試験を行ったところ、標準液では良好な値が得られたが、管理血清の回収率は大きくばらついた。これは各血清中の共存物質の種類及び粘度の違いから、測定値に与える影響が異なるためと考えられた。そこで生理食塩水の代わりに種々の希釀液を用いた標準液で検量線を作成し、それにより回収率を求め、それが100%に近くなるような希釀液を検討した。結果をTable 5に示す。管理血清EXA normalを用いた時最も良い回収率を示した。また、EXA normalそのものの吸光度は試薬ブランク吸光度(グアナーゼ活性0 UI<sup>-1</sup>)に近く、検量線の傾きも日差変動が少なかったので希釀液をEXA normalとした。A法における最適条件をFig. 2に示す。0.14～4.9 UI<sup>-1</sup>の範囲で良好な検量線が得られた( $a = 0.0199$ ,  $r = 0.9994$ )。

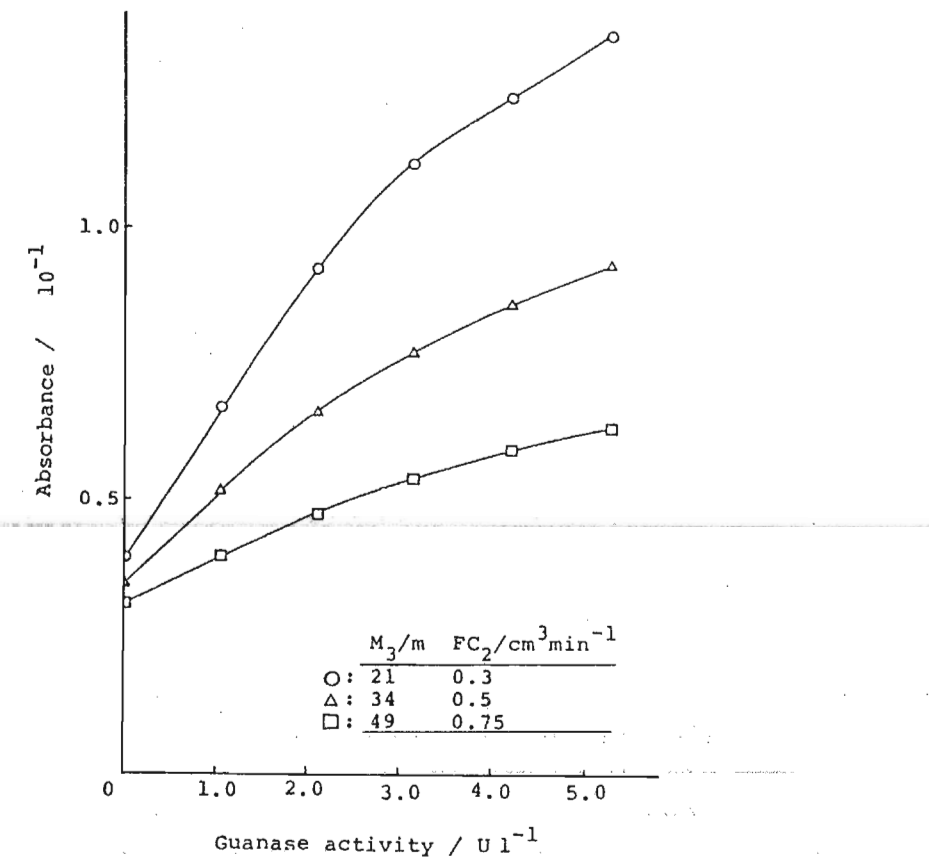


Fig. 5 Effect of flow rate ( $FC_2$ ) on absorbance in A method

### 3. 2. B法による最適条件の検討

A法においては検出下限が  $0.13 \text{ U l}^{-1}$  であったため、管理血清あるいはヒト血清試料の一部が定量限界以下となってしまった。これは  $M_1$  中で Step 1 の反応を完結させるためにコイル長が長くなり、その間に  $S$ ,  $R_1$  および  $R_2$  の拡散が進行し、感度が下がったものである。そこで低活性領域にも適用できるシステムを考案した。 $M_1$  をできる限り短くし、 $R_1$  と  $S$  が  $M_1$  に充填された時点での流れを止めるストップトフロー法を採用した。フローダイヤグラム、最適条件及びバルブの配管を Fig. 3 に示す。また、希釀液にA法では管理血清 EXA normal を用いたが、EXA normal の添付資料によるとグアナーゼ活性値が  $0.8 \pm 0.5 \text{ U l}^{-1}$  であるので、希釀液を生理食塩水とした。

Table 3 Effect of type and concentration of surfactant in carrier on correlation between guanase activity and absorbance (A method)

Surfactant	Concentration % (v/v)	Correlation between guanase activity* and absorbance		
		Slope	y-Intercept	r
Triton X-100	0.6	0.0254	0.0416	0.9991
	1.2	0.0276	0.0401	0.9993
	1.8	0.0189	0.0398	0.9976
Brij 35	0.15	0.0268	0.0930	0.9981
	0.3	0.0281	0.0955	0.9997
	0.6	0.0234	0.1298	0.9972
Tween 80	0.12	0.0281	0.0807	0.9988
	0.3	0.0284	0.1163	0.9992
	0.6	0.0276	0.2091	0.9989
	1.2	0.0139	0.3446	0.9924
Tween 20	0.12	0.0255	0.1169	0.9997
	0.3	0.0162	0.2259	0.9993
	0.6	0.0200	0.3416	0.9955
	1.2	0.0051	0.5050	0.9931

\* Guanase activity:  $0.14 - 2.1 \text{ U l}^{-1}$   
 $C_1$  and  $C_2$ :  $0.1 \text{ M}(\text{KH}_2\text{PO}_4 - \text{NaOH})$ , pH = 7.4

Table 4 Effect on type and pH of buffer in carrier on correlation between guanase activity and absorbance (A method)

Buffer		Correlation between guanase activity* and absorbance				
$C_1$	$C_2$	Type	pH	Slope	y-Intercept	r
Type	pH	Type	pH			
K-phosphate	7.4	K-phosphate	7.4	0.0276	0.0811	0.9996
Na-phosphate	7.4	Na-phosphate	7.4	0.0281	0.0872	0.9997
Citric acid	7.4	Citric acid	7.4	0.0210	0.0896	0.9966
Tris	7.4	Tris	7.4	0.0294	0.0828	0.9991
K-phosphate	7.4	K-phosphate	6.0	0.0337	0.0897	0.9999
K-phosphate	7.4	Citric acid	6.0	0.0278	0.1045	0.9988

\* Guanase activity:  $0.14 - 0.21 \text{ U l}^{-1}$   
K-phosphate:  $\text{KH}_2\text{PO}_4 - \text{NaOH}$ , Na-phosphate:  $\text{Na}_2\text{HPO}_4 - \text{NaH}_2\text{PO}_4$   
Surfactant: 0.3% Brij 35  
Concentration of buffer: 0.1 M

$T_1$ 及び $M_1$ 長の検討結果を Table 6 に示す。  $S$ と $R_1$ の混合液が反応コイル $M_1$ 中に入り切らないうちに、また、 $M_1$ コイルより先に出てしまつてからバルブを切りかえると、 $M_1$ 滞留中に $S$ 、 $R_1$ 混合物の一部が先に $D$ に到達してしまうので、ピーク形状はダブルピークを示す。 $M_1 = 20 \text{ m}$ の時、 $T_1 > 230$ 秒でシングルピークとなつた。 $T_1 = 230$ 秒に固定し、 $M_1$ を短くして行ったところ、 $M_1 = 14 \text{ m}$ の時、 $S$ と $R_1$ を完全に $M_1$ 中に充填することができた。

内因性キサンチンと尿酸の消去に  $T_2$  の及ぼす影響は、5, 7, 10 及び 12 分で検討したところ、共に + 2 ~ 3 % の誤差を示しほぼ一定で変化はなかったので、最短時間の 5 分を選択した。 $T_2 < 5$  分は検討しておらず、今後の検討課題である。

$R_2$  を検討した結果、2種試料共に  $RSD = 0.62$  及び  $0.81\%$  ( $n = 10$ ,  $1.23 \text{ UI}^{-1}$ ,  $3.68 \text{ UI}^{-1}$ ) と変動が最少であった  $250 \text{ mm}^3$  を選択した。

Table 5 Influence of diluent for recovery test  
in A method ( $n = 3$ )

Diluent	Sample	Guanase activity/ $\text{UI}^{-1}$			Recovery/%
		Added	Found	Recovered	
0.85% NaCl	Guanase Std.	0 0.51	0.38 0.91	- 0.53	-
		0 0.51	0.90 1.43	- 0.53	- 104
		0 0.51	1.20 1.68	- 0.48	- 94
	Precipath E	0 0.51	0.76 1.31	- 0.55	- 108
	Seronorm	0 0.51	0.19 0.53	- 0.34	- 67
	Guanase Std.	0 0.51	0.90 1.46	- 0.56	- 110
	Precipath E	0 0.51	1.03 1.42	- 0.39	- 76
	Guanase Std.	0 0.51	0.93 1.52	- 0.59	- 115
	Precipath E	0 0.51	0.93 1.49	- 0.56	- 110
	Guanase Std.	0 0.51	0.98 1.37	- 0.39	- 77
Control Serum I	Precipath E	0 0.51	1.45 2.13	- 0.68	- 134
	Guanase Std.	0 0.51	0.96 1.40	- 0.44	- 86
CONSERA (N)	Precipath E	0 0.51	1.46 2.23	- 0.77	- 151
	Guanase Std.	0 0.51	0.35 0.85	- 0.50	- 98
EXA normal		0 0.51	0.88 1.40	- 0.52	- 102
		0 0.51	1.24 1.72	- 0.48	- 94
	Precipath E	0 0.51	1.26 1.77	- 0.51	- 100
	Seronorm	0 0.51	0.37 0.88	- 0.51	- 100

Table 6 Determination of delay time ( $T_1$ ) and  $M_1$  coil length in B method

$M_1$ m	$T_1$ / sec									
	150	180	190	200	210	220	230	240	250	300
10	d	d	d	d	d	d	-	-	d	
20	-	-	-	d	d	d	s	s	s	s

$T_1$ sec	$M_1$ / m					
	13	14	15	16	18	20
230	d	s	s	s	s	s

d: double peak, s: single peak,  $T_2$ : 5 min

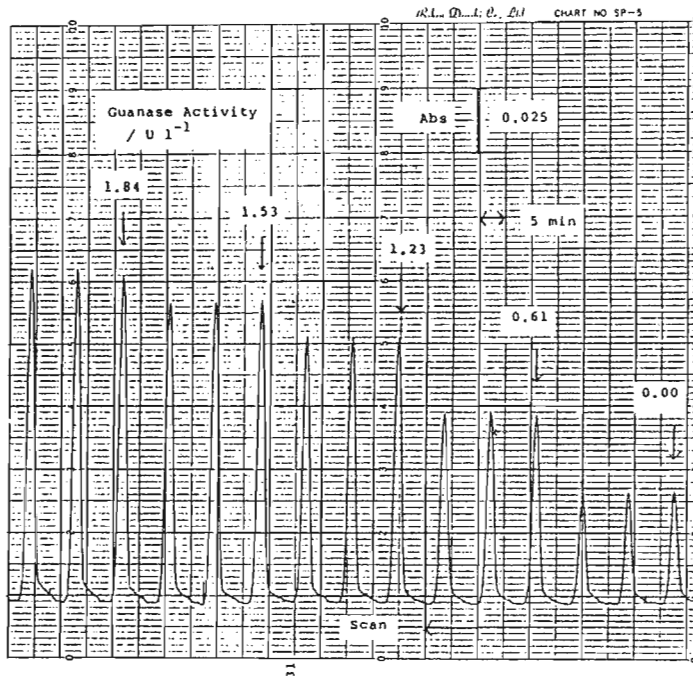


Fig. 6 Peak chart for triplicate injection of standard solution in B method

以上決定した最適条件下で検量線を作成した。グアナーゼ低活性域 ( $0 \sim 1.23 \text{ U1}^{-1}$ ) に高い直線性 ( $a = 0.0475$ ,  $r = 0.9996$ ) を示す検量線が得られ、高活性域 ( $1.84 \sim 4.9 \text{ U1}^{-1}$ ) でそれとは異なる直線 ( $a = 0.0307$ ,  $r = 0.9995$ ) が得られた。これにより少なくとも  $0.06 \text{ U1}^{-1}$  の定量が可能となった。血清中グアナーゼ活性の正常上限値は  $1.02 \text{ U1}^{-1}$ <sup>5)</sup> であるので、検量線の範囲及び使用標準液濃度を更に検討した結果、 $0 \sim 1.84 \text{ U1}^{-1}$  の範囲で高感度で高い直線性を示す検量線 ( $a = 0.0499$ ,  $r = 0.9999$ ) が最終的に得られた。その時のピークチャートを Fig. 6 に示す。なお、前述のように  $1.23 \text{ U1}^{-1}$  グアナーゼ標準試料を用いた場合、 $\text{RSD} = 0.62\% (n = 10)$  と高い再現性が得られた。

標準液及び管理血清における添加回収率を Table 7 に示す。管理血清の回収率が比較的低いのは、A 法と同様、希釀液組成に由来するものであるが、低活性域の定量を考慮し、生理食塩水を希釀液に用いた。

Table 7 Recovery test of guanase activity  
in B method ( $n = 3$ )

Sample	Guanase activity / $\text{U1}^{-1}$			Recovery/%
	Added	Found	Recovered	
Guanase Std.	0	0.94	-	-
	0.19	1.12	0.18	96
	0	0.89	-	-
	0.45	1.33	0.45	100
	0	0.94	-	-
	0.19	1.13	0.19	100
	0	0.93	-	-
	0.45	1.38	0.45	100
	0	0.87	-	-
	0.45	1.30	0.43	96
Precinorm E	0	0.67	-	-
	0.45	1.14	0.47	106
	0	0.64	-	-
	0.45	1.07	0.43	98
NESCOL-XA	0	0.44	-	-
	0.45	0.92	0.48	107
	0	0.57	-	-
	0.45	0.95	0.38	85
Seronorm	0	0.59	-	-
	0.45	0.98	0.39	86
	0	0.51	-	-
	0.45	0.91	0.40	89

Table 8 Determination of guanase activity in control sera by manual method and FIA method (B method)

Control serum	Guanase activity / $\text{Ul}^{-1}$	
	Manual method	FIA method
CONSERA (N)	0.60	0.39
	0.57	0.44
CONSERA (A)	0.64	0.43
	0.39	0.43
EXA normal	0.34	0.17
	0.60	0.19
NESCOL-XA	0.18	0.62
	0.83	0.63
Seronorm	0.18	0.49
Precinorm E	0.18	0.93
Control Serum I	0.14	0.31
SeraChem	0.26	0.28
Q-PAK I	0.04	0.17

管理血清及びプール血清（9種類）を試料として、FIA法（B法）と用手法で測定した結果をTable 8に示す。FIA法については再現性良く値が得られたが、用手法については変動が大きく、相関関係を求めるに至らなかった。例えば、管理血清 EXA normalについてFIA法と用手法での各々10回測定による2SDの値は、FIA法  $0.028 \text{ Ul}^{-1}$  ( $M = 0.21 \text{ Ul}^{-1}$ )、用手法  $0.20 \text{ Ul}^{-1}$  ( $M = 0.25 \text{ Ul}^{-1}$ )でFIA法の方が1ケタ小さい。

本法における一検体当たりの測定所要時間は約20分である。しかし8分30秒毎に試料を注入できるため、40検体を約6時間で処理でき迅速であるのに対して、用手法では約10時間かかる。

グアナーゼ活性測定のFIA法への応用は林ら<sup>21)</sup>によって既に報告されているが、彼らの方法ではグアニンを基質に用いて、グアナーゼを介しキサンチンを生成させる前処理を用手法により予め行い、その後キサンチンの定量をFIA法で行っている。したがって試料中に内因性のキサンチン類が共在するため、ブランク試験を行う必要がある。一方、本法は試料の前処理なしに直接注入するだけでグアナーゼ活性を測定することができる。また内因性キサンチン類、尿酸はFIAシステム中で除去できるのでブランク試験の必要がないので簡便である。

#### 4. 結 語

グアニンを基質として、キサンチンオキシダーゼ、ウリカーゼ、ペルオキシダーゼ共役系により、生成する過酸化水素をインダミン色素により比色定量するグアナーゼ活性測定法を、シリーズインジェクション、ストップトフロー、マージングゾーン法を組み

合わせることにより FIA 法に応用した。グアナーゼ活性測定範囲は 0 ~ 1.84 U<sup>-1</sup>であり、平均回収率は 97 %、同時再現性は 1 % 以下で正確、精密であった。一検体当たりの測定所要時間は約 20 分であるが、8.5 分毎に試料注入できるため、40 検体を約 6 時間で処理でき、用手法と比較して迅速である。更にブランク試験の必要もなく、試料を直接注入でき、簡便である。

### 謝 辞

本論文提出にあたり英文要旨を御校閲いただいた上智大学理工学部化学科 F. S. Howell 博士に感謝致します。

### 文 献

- 1) G. Schmidt, Hoppe-Seyler's Z. Physiol. Chem., 208, 185 (1932).
- 2) G. Passanenti, Med. World News, 4, 84 (1963).
- 3) 伊東進, 他, 肝臓, 16, 10 (1975).
- 4) 西川洋子, 他, 臨床病理, 30, 1241 (1982).
- 5) 松本啓子, 他, 臨床病理, 24, 1059 (1986).
- 6) 藤井節郎, 他, 臨床化学, 12, 208 (1983).
- 7) S. Ito, et al., Clin. Chim. Acta, 115, 135 (1981).
- 8) 西川洋子, 他, 臨床病理, 23, 1413 (1985).
- 9) U. A. S. AL-Khalidi, et al., Clin. Chim. Acta, 29, 381 (1970).
- 10) M. Sugiura, et al., Chem. Pharm. Bull., 29, 426 (1981).
- 11) T. Ando, et al., Anal. Biochem., 130, 295 (1983).
- 12) 杉山正康, 他, 臨床化学, 12, 304 (1983).
- 13) 手登根稔, 他, 検査と技術, 13, 901 (1985).
- 14) 友田正子, 他, J. Flow Injection Anal., 6, 30, (1989).
- 15) 桐栄純一, 他, J. Flow Injection Anal., 2(2), 151 (1985).
- 16) B. C. Erickson, et al., Anal. Chem., 59, 1246 (1987).
- 17) 内田和秀, 他, J. Flow Injection Anal., 2(2), 143 (1985).
- 18) 日本臨床化学会分析部会精度管理部会委員会, 臨床化学, 14(補), 29 (1985).
- 19) 今村寿明, 他, 化学の領域, 30, 167 (1976).
- 20) 穴野宏治, 他, 衛生検査, 25, 1410 (1987).
- 21) Y. Hayashi, et al., Anal., Chim., Acta, 197, 51 (1987).

(1990年10月29日受理)